УЛК 537.528

РАЗРЯД ПОСТОЯННОГО ТОКА МЕЖДУ МЕТАЛЛИЧЕСКИМ АНОДОМ И ЖИДКИМ НЕМЕТАЛЛИЧЕСКИМ КАТОДОМ

С. Ю. Петряков, Д. Н. Мирханов, Ал. Ф. Гайсин * ,

Р. Ш. Басыров, Н. Ф. Кашапов**

Казанский национальный исследовательский технический университет им. А. Н. Туполева (КАИ), 420111 Казань, Россия

- * Объединенный институт высоких температур РАН, 125412 Москва, Россия
- ** Казанский (Приволжский) федеральный университет, 420008 Казань, Россия E-mails: serioga_com@mail.ru, mirhanov@list.ru, almaz87@mail.ru, rafikbasyrov@mail.ru, kashnail@gmail.com

Проведены исследование характеристик и математическое моделирование поведения низкотемпературной плазмы электрического разряда постоянного тока, зажигаемого между алюминиевым анодом и электролитическим катодом (3 %-й раствор NaCl в очищенной воде) при атмосферном давлении. Зажигание разряда осуществляется при погружении металлического анода в электролитический катод. Рассмотрены типы и формы генерируемых в межэлектродном промежутке плазменных структур. Представлены результаты высокоскоростной съемки процессов пробоя и горения разряда. Исследованы электрофизические параметры разряда, в том числе пульсации, колебания силы тока и напряжения. С помощью метода эмиссионной спектроскопии определены спектр излучения разряда, состав плазмы, концентрация электронов и температура тяжелых компонентов плазмы. Рассмотрены термограммы поверхности жидкого неметаллического и металлического электродов в зоне горения разряда. Представлены результаты численного моделирования напряженности электрического поля и начальной стадии разряда.

Ключевые слова: низкотемпературная плазма, электрический разряд, плазменножидкостные системы, численные методы.

DOI: 10.15372/PMTF20220502

Введение. Изучение низкотемпературной плазмы разрядов с жидкими неметаллическими электродами представляет собой быстроразвивающуюся междисциплинарную область исследований [1]. В плазменно-жидкостных системах разряды генерируются постоянным или переменным током в межэлектродном пространстве, при этом в качестве одного из электродов применяется жидкость. В качестве жидкого электрода, как правило, используются растворы солей различной концентрации в дистиллированной, технической или очищенной воде. Зажигание разряда осуществляется в газоразрядных камерах с электродами различной конфигурации. Наиболее распространенными способами зажигания разряда являются погружение металлического электрода в электролит и размещение металлического электрода на некотором расстоянии от поверхности электролита [2, 3].

Работа выполнена при финансовой поддержке Российского научного фонда (код проекта 21-79-30062).

С. Петряков С. Ю., Мирханов Д. Н., Гайсин Ал. Ф., Басыров Р. Ш., Кашапов Н. Ф., 2022

Интерес к плазменно-жидкостным системам обусловлен тем, что в данной области исследований сложным образом связаны три системы, описывающие соответственно физику процессов в плазменном (газовый разряд), жидком (непроточный и проточный электролиты) и газообразном (окружающий воздух) фазовых состояниях. В этих системах насчитывается более 50 заряженных или нейтральных атомных и молекулярных частиц, которые вступают в реакцию друг с другом и оказывают влияние на баланс энергии в разряде [4]. Сложность проведения численных расчетов обусловлена тем, что математическая модель плазменно-жидкостных систем может включать более 30 уравнений в зависимости от количества учитываемых частиц. Полученные при этом результаты плохо согласуются с экспериментальными данными, что затрудняет создание единой классификации плазменно-жидкостных систем, аналогичной известной классификации разрядов в случае использования твердых электродов (искрового, дугового, тлеющего, коронного и др.) [5]. В то же время одним из направлений систематизации разрядов с жидкими электродами является их классификация по элементарным процессам, поэтому создание на их основе математических моделей, результаты расчетов по которым качественно и количественно согласуются с экспериментальными данными, является актуальной задачей.

Вместе с тем плазменно-жидкостные системы применяются при решении различных прикладных задач машиностроения, металлообработки, медицины и космической промышленности. Исследуется возможность применения разрядов с жидкими электродами при обработке изделий со сложной геометрией внешней и внутренней поверхностей, изготовленных с использованием как традиционных методов производства (штамповка, литье и др.) [6–8], так и аддитивных методов лазерного спекания металлических порошков [9]. В ряде работ представлены результаты использования плазменно-жидкостных систем для производства мелкодисперсных порошков металлов [10], получения наночастиц [11, 12], нанесения покрытий на изделия [13, 14], анализа концентрации частиц в жидкости [15, 16], создания плазмохимических реакторов [17, 18], а также для стерилизации и очистки твердых тел, воды и воздуха [19]. Применение данных систем обусловлено большим разнообразием конфигураций газоразрядных камер, режимов и параметров зажигания и горения разряда, а также плазмохимическими процессами, связанными с переносом вещества и заряда на границе раздела фаз [20, 21].

Целью данной работы является исследование свойств получаемого разряда при погружении алюминиевого анода в электролитический катод при атмосферном давлении, в частности его электрофизических, спектральных и тепловых параметров. С целью интерпретации обнаруженных эффектов проведены численные эксперименты, в которых моделируются напряженность электрического поля и начальная стадия разряда.

1. Экспериментальная установка. На рис. 1 представлена схема газоразрядной камеры для зажигания и поддержания разряда между алюминиевым анодом и электролитическим катодом (3 %-й раствор NaCl в очищенной воде) при атмосферном давлении.

В качестве металлического анода применялся цилиндрический стержень из алюминиевого сплава марки АМЦ-40. Анод погружался в электролит и с помощью автоматического манипулятора перемещался в вертикальной плоскости на расстояние, равное 30 мм. Для подвода отрицательного потенциала в электролит погружалась металлическая пластина из меди. Для контроля температуры раствора электролита в ванне используется термостат. Термостатирование электролита проводилось с помощью циркуляционного охладителя рефрижераторного типа. Обновление электролита в ванне осуществлялось с помощью системы подачи и откачки электролита. Для очищения раствора от примесей в системе используется фильтр грубой очистки. Пары электролита удалялись из зоны исследования разряда с помощью стационарной вытяжки и вентилятора.

литическая ячейка

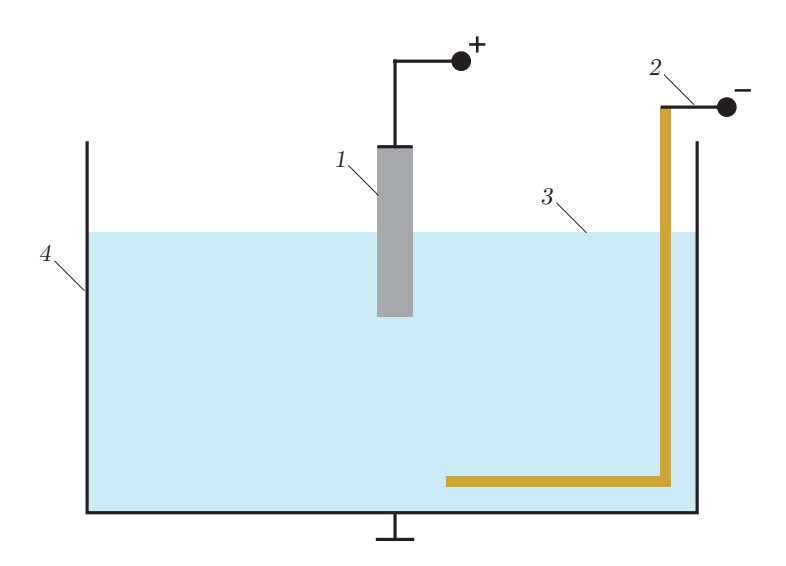


Рис. 1. Схема газоразрядной камеры: 1 — алюминиевый анод, 2 — медная пластина для подвода отрицательного потенциала в электролит, 3 — электролит (3 %-й раствор NaCl в очищенной воде), 4 — электро-

Экспериментальная установка оснащена высоковольтным генератором мощностью 40 кВт с изменяемым напряжением до 4 кВ при номинальной силе тока до 10 A, который обеспечивает питание тока в разряде, а также диагностического и вспомогательного оборудования. Генератор питания осуществляет преобразование и регулирование сетевого напряжения. Генератор состоит из высоковольтного и низковольтного регулируемых блоков, которые обеспечивают необходимые диапазоны устанавливаемых напряжения и силы тока. Установка заземлена. Текущие значения силы тока и напряжения передавались с пульта источника на управляющий компьютер и контролировались оператором.

Экспериментальные исследования разряда проводились при следующих значениях параметров: напряжение $U=100\div 500$ В, плотность анодного тока $j_a=0.2\div 0.6$ А/см², давление $p=10^5$ Па, температура электролита $T=10\div 25$ °C, диаметр анода $d_a=5$ мм, удельная электропроводность электролита $\sigma=0.10\div 0.12$ Ом $^{-1}\cdot$ см $^{-1}$.

Приведенные в работе задачи решались с использованием современного диагностического оборудования и различных методов.

Видеосъемка протекающих в зоне горения разряда процессов, а также образующихся при этом плазменных структур осуществлялась с помощью высокоскоростной видеокамеры марки Casio EX-F1. Вследствие высокой скорости протекающих в зоне горения разряда процессов скорость съемки была выбрана равной 1200 и 600 кадр/с. Камера, установленная на штатив на расстоянии 300 мм от зоны горения разряда, передавала получаемую информацию на ЭВМ. Обработка полученных данных проводилась с использованием программного обеспечения НХ Link и Movavi Video Editor 14 Plus. Одновременно выполнялось детальное исследование анодных и катодных пятен на поверхности жидкого и металлического электродов с помощью микроскопа СП-52.

Излучение плазмы разряда анализировалось методом эмиссионной спектроскопии на оптико-волоконном спектрометре марки PLASUS EC 150201 MC. Излучение разряда регистрировалось с помощью коллиматора для фиксации световых лучей в диапазоне длин волн $195 \div 1105$ нм. Коллиматор подводился к зоне горения разряда на расстояние $100 \div 200$ мм. Калибровка аппаратной функции системы проводилась с использованием светового излучения лампы марки СИРШ 6-100. В качестве аппаратной ширины принята ширина минимальных одиночных и наиболее узких линий спектра, равная $\Delta \lambda_{\rm G} = 1$ нм.

Исследуемое излучение собиралось во всем объеме формируемого разряда, поэтому оценка состава и компонентов плазмы выполнена без привязки к определенной точке. Анализ полученных данных осуществлялся путем сопоставления исследуемого спектра с базой данных Национального института стандартов и технологий (США). Значения колебательной и вращательной температур тяжелого компонента плазмы определялись путем сравнения экспериментально зарегистрированного молекулярного спектра со спектром, полученным в расчетной модели с использованием программ LIFBASE и SPECAIR 2.2.0.0.

Для анализа распределения температуры исследуемой поверхности металлического и электролитического электродов в процессе горения разряда использовалась тепловизионная камера марки FLIRA6500SC с пространственным разрешением детектора 640×512 пикселей в рабочем диапазоне линий спектра $3,6 \div 4,9$ мкм. Тепловизор обеспечивал фиксированную температуру поверхности электродов в калиброванном диапазоне $4 \div 2400$ °C. Для калибровки тепловизионной камеры использовался многоволновой пирометр. Применение пирометра обусловлено тем, что при горении разряда могут образовываться оксидная пленка и окалина, вследствие чего при измерении температуры могут возникать погрешности. Обработка полученных значений проводилась на ЭВМ с программным обеспечением ALTAIR v5.91.010.

Пульсации, колебания тока и напряжения разряда исследовались с использованием цифровых осциллографов марок GDS-806S и GOS-6030. С целью обеспечения контроля электрофизических параметров в момент зажигания и поддержания разряда к осциллографам подключалось устройство для регистрации оптического излучения разряда на фотодиодах с микросхемой.

Моделирование разряда осуществлялось в среде ANSYS FLUENT 16.2. Исследовался процесс протекания тока в электролитической ячейке с заземленным проводящим днищем. Путем геометрических построений была создана расчетная область с размерами $100 \times 100 \times 40$ мм. Задача решалась с использованием метода конечных элементов, расчетная область разбивалась на элементы в виде тетраэдров. Модель представляла собой трехкомпонентную систему жидкость — воздух — пар. Для жидкой фазы учитывалось наличие в электролите ионов, для парогазовой фазы — процессы испарения, конденсации и межфазного теплообмена. Система, описывающая динамику парогазовой среды и жидкости, включает уравнения неразрывности смеси, движения (импульсов), энергии и потенциала электрического поля.

2. Обсуждение результатов. Исследование инициирования разряда в результате контакта алюминиевого анода диаметром $d_a=5\,$ мм с поверхностью электролитического катода показало, что при подаче напряжения в диапазоне $100\div170\,$ В на границе контакта электродов происходит процесс испарения электролита с образованием паровоздушных пузырей различного диаметра. Протекающий в цепи ток запускает процессы джоулева тепловыделения с поверхности металлического анода и выделения растворенных веществ из электролита, что характерно для электролиза. Процесс электролиза определяется переносом электрического тока в жидкости и типом разряда содержащихся в растворе ионов электролита. Изменяя состав, концентрацию и температуру электролита, можно изменять характер электродных процессов. В то же время пробой не наблюдается, так как вкладываемая в разряд мощность остается недостаточной для ионизации паровоздушной среды и инициирования электронной лавины.

При увеличении напряжения с 200 до 400 В интенсивность протекающих в межэлектродном промежутке процессов увеличивается, а раствор вокруг алюминиевого анода начинает кипеть (рис. 2). В объеме электролита возникает граница разделения фаз, вокруг анода образуется паровоздушная оболочка. В некоторый момент времени напряженность электрического поля достигает значений, достаточных для запуска процессов, иницииру-

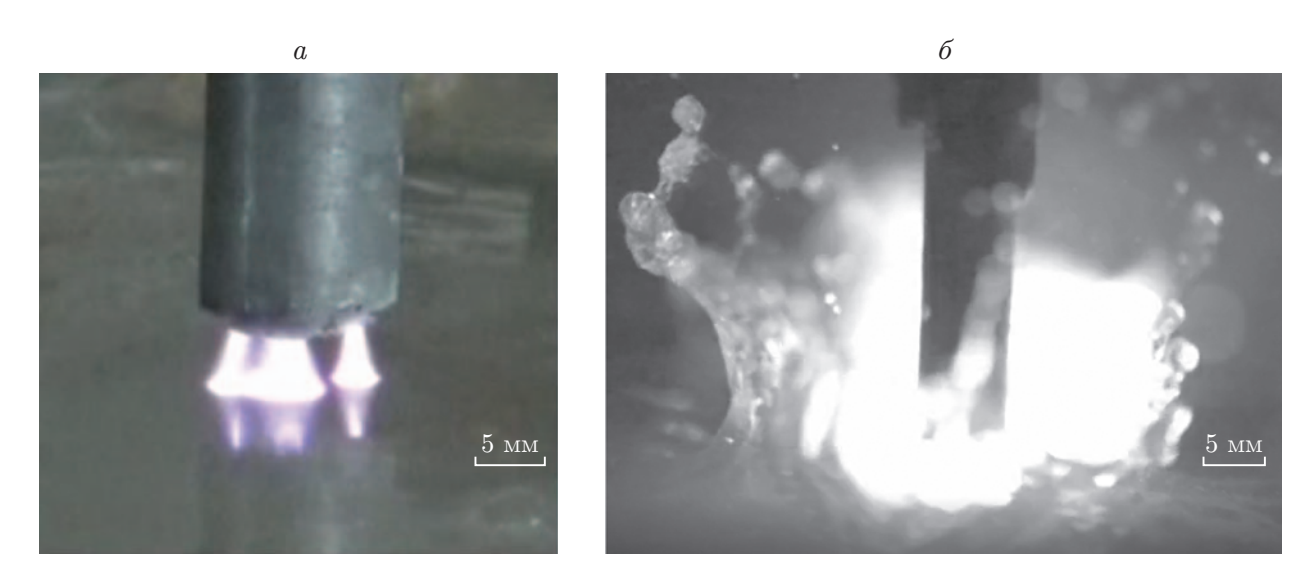


Рис. 2. Процесс горения электрического разряда в области между алюминиевым анодом и электролитическим катодом при $p=10^5$ Па, $d_a=5$ мм: a-U=400 В, I=0.55 А, $\delta-U=800$ В, I=8 А

ющих пробой газового промежутка между электродами. В результате пробоя на границе раздела сред возникают микроразряды в форме усеченного конуса, вершина которого опирается на поверхность алюминиевого анода, а основание — на поверхность электролитического катода (см. рис. 2,a). Электрические разряды формируются в виде импульсов силы тока в диапазоне $I=0,2\div 1,8$ А. Вместе с тем процесс формирования и поддержания разряда сопровождается образованием анодных и катодных пятен на поверхности электродов. Плазменные структуры и пятна периодически появляются и беспорядочно перемещаются на границе раздела сред в пространстве между электродами. При этом температура увеличивается вдоль поверхности алюминиевого анода в диапазоне $100\div 180$ °C (рис. 3). Беспорядочный характер перемещения исследуемых объектов по поверхности электродов может быть объяснен локальным изменением электрического поля вследствие плавления и изменения микрорельефа поверхности алюминиевого анода.

С увеличением напряжения с 600 до 800 В меняются скорость и характер протекающих на границе раздела сред процессов. Конусообразные плазменные структуры и локальные пятна на поверхности электродов сливаются и переходят в объемный (диффузный) разряд (см. рис. 2,6). Из анализа колебаний силы тока и напряжения разряда следует, что значения силы тока возрастают с 0,5 до 11,0 А, а частота формирования импульсов тока уменьшается (рис. 4). Горение объемного (диффузного) разряда сопровождается интенсивным выделением конвективных паровоздушных потоков, образованием капель различного диаметра, акустическими хлопками, турбулентным перемешиванием электролита и возмущением поверхности раствора. Изменение динамики протекающих в системе процессов может быть объяснено увеличением вкладываемой в разряд мощности. В результате формирования разряда высокой мощности наблюдаются процессы, характерные для электрогидравлического взрыва с образованием ударных волн, которые, распространяясь в околоэлектродном пространстве, возмущают и вытесняют раствор электролита от поверхности алюминиевого анода. Эти процессы могут приводить к увеличению межэлектродного расстояния, затуханию разряда и размыканию цепи. Далее паровоздушная оболочка схлопывается и раствор электролита взаимодействует с поверхностью сильно нагретого анода, что приводит к повторному пробою и зажиганию разряда.

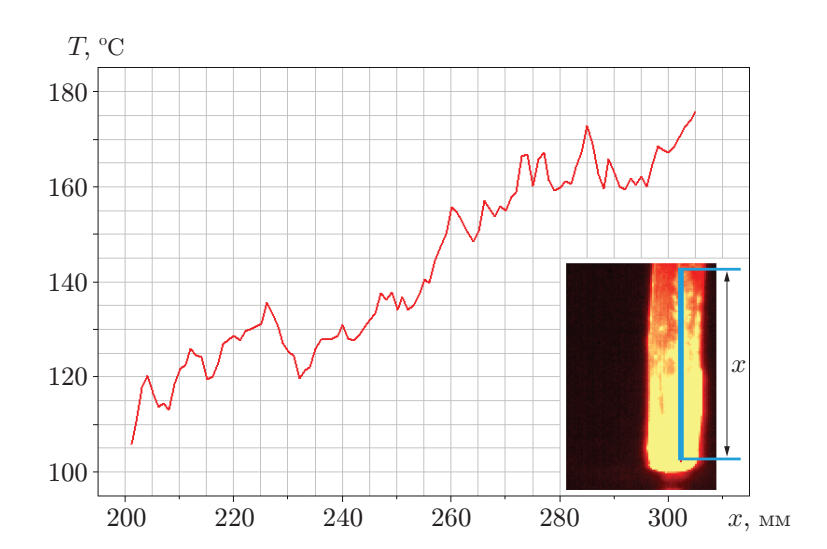


Рис. 3. Распределение тепловых потоков вдоль алюминиевого анода в процессе горения электрического разряда (x — длина исследуемого участка на поверхности алюминиевого анода)

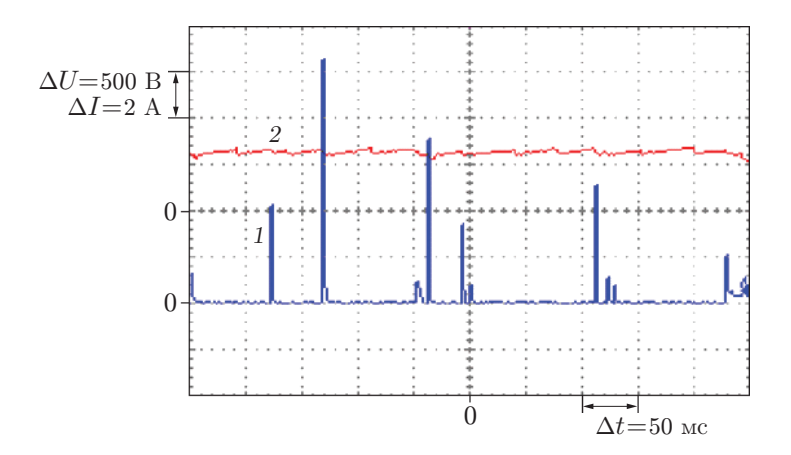


Рис. 4. Осциллограммы колебаний силы тока (1) и напряжения (2) разряда

Анализ спектра излучения показывает, что на исследуемом участке плазмы присутствуют различные молекулы, ионы и атомы водорода, алюминия, натрия. Аппаратное уширение в исследуемом спектре (минимальная ширина спектральной линии, которую может зафиксировать спектрометр) проверено по атомарной линии Al I (669,7 нм). Минимальная ширина оптически тонких и наиболее узких линий составила $\Delta\lambda_{\rm G}\approx 1$ нм. Эта ширина принята в качестве аппаратной ширины ($\Delta\lambda_{\rm G}$ — полуширина контура Гаусса). Оценка концентрации электронов в плазме рассчитывалась по полуширине нескольких водородных линий в серии Бальмера. Измеренная полуширина $\Delta\lambda_{\rm F}$ линии ${\rm H}_{\alpha}$ равна 1,36 нм, для линии ${\rm H}_{\beta}$ полуширина составляет $\Delta\lambda_{\rm F}=1,59$ нм. С учетом аппаратной составляющей уширение линии вследствие влияния давления (лоренцева полуширина) определялось по формуле

$$\Delta \lambda_{\rm F} \approx 0.5346\,\Delta \lambda_{\rm L} + \sqrt{0.2166\,\Delta \lambda_{\rm L}^2 + \Delta \lambda_{\rm G}^2}\,,$$

где $\Delta \lambda_{\rm F}$ — полуширина контура Фойгта; $\Delta \lambda_{\rm L}$ — полуширина контура Лоренца.

Линия водорода	$\Delta \lambda_{ m F},$ нм	$(n_e)_{\rm F}, {\rm cm}^{-3}$	$\Delta \lambda_{ m L}$, нм	$(n_e)_{\rm L}, { m cm}^{-3}$
H_{lpha}	1,36	$3 \cdot 10^{16}$	0,60	$5.8 \cdot 10^{16}$
${ m H}_{eta}$	1,59	$2 \cdot 10^{16}$	0,93	$9,4 \cdot 10^{15}$
i				

Полуширина контуров Фойгта и Лоренца и соответствующие значения концентрации электронов на линиях водорода

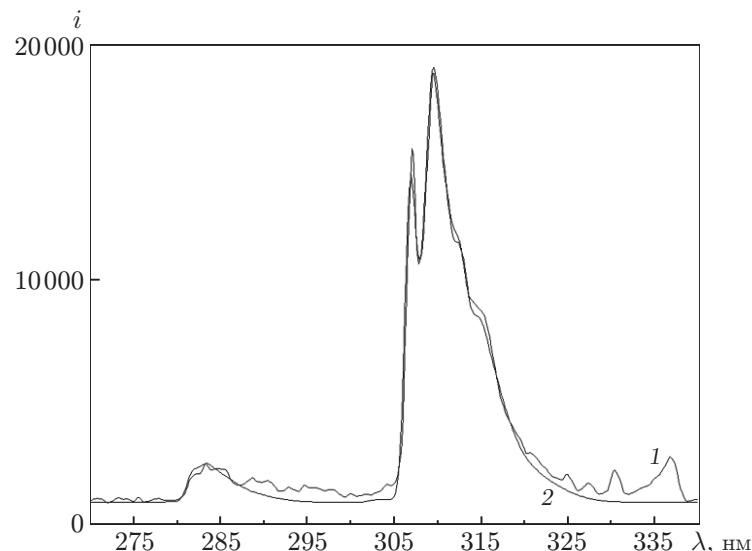


Рис. 5. Экспериментальный (1) и модельный (2) спектры для молекулярной полосы ОН (i — интенсивность излучения)

Концентрация электронов определялась по соотношению, приведенному в работе [22]:

$$n_e = 10^{13} (\Delta \lambda_{\rm L})^{3/2} \Big(C_0(T) + \sum_{n=1}^m C_n(T) (\ln \Delta \lambda_{\rm L})^n \Big).$$

Для линии H_{α} полуширина контура Лоренца равна $\Delta\lambda_{\rm L}=0.601$ нм, для линии H_{β} $\Delta\lambda_{\rm L}=0.93$ нм (см. таблицу). Согласно данным [22] для линии H_{α} значение $\Delta\lambda_{\rm L}=1.36$ нм соответствует концентрации электронов $n_e=5.8\cdot 10^{16}$ см⁻³, для линии H_{β} значение $\Delta\lambda_{\rm L}=0.93$ нм соответствует концентрации электронов $n_e=9.4\cdot 10^{16}$ см⁻³, а согласно данным [23] полуширина линии H_{α} соответствует концентрации $n_e=1.9\cdot 10^{16}$ см⁻³, полуширина линий H_{β} — концентрации $n_e=2\cdot 10^{16}$ см⁻³. Поскольку полуширина линии H_{β} $\Delta\lambda_{\rm F}=1.59$ нм больше полуширины линии H_{α} $\Delta\lambda_{\rm F}=1.36$ нм, концентрацию электронов следует определять по линии H_{β} , так как для нее вклад аппаратной функции в полуширину физического (измеряемого) контура менее значителен. Тогда концентрация электронов равна $n_e=9.4\cdot 10^{16}$ см⁻³.

Для оценки колебательной T_{ν} и вращательной T_{r} температур тяжелого компонента исследовались молекулярные полосы. Наиболее четко в спектре определяется наличие молекулы $\mathrm{OH}(\mathrm{A-X})$ ($\mathrm{A-X}$ — разрешенный электродипольный переход). Анализ температур проводился путем сравнения экспериментально полученного спектра с расчетным (рис. 5). Вращательная и колебательная температуры оказались равными $T_{r}=3550~\mathrm{K}$ и $T_{\nu}=4900~\mathrm{K}$. Для определения температуры электронов необходимы атомарные или ионные линии спектра.

В начальном состоянии электролитическая ячейка заполнена электролитом до уровня 20 мм. Применяется модель многофазной среды. Рассматриваются три фазы: воздух, жид-

кий электролит и пары воды. Учитываются джоулево тепловыделение, теплопроводность и конвекция, парообразование и конденсация воды, поверхностное натяжение, процессы гидрогазовой динамики. При использовании модели многофазной среды решаются следующие уравнения:

— уравнение неразрывности смеси

$$\frac{\partial}{\partial t} \rho_m + \nabla \cdot (\rho_m \boldsymbol{v}_m) = 0,$$

где \boldsymbol{v}_m — среднемассовая скорость смеси:

$$\boldsymbol{v}_m = \frac{1}{\rho_m} \sum_{k=1}^3 \alpha_k \rho_k \boldsymbol{v}_k,$$

 ρ_{m} — средняя плотность:

$$\rho_m = \sum_{k=1}^{3} \alpha_k \rho_k,$$

 $\alpha_k, \, \rho_k$ — объемная доля и плотность k-го компонента:

$$\sum_{k=1}^{3} \alpha_k = 1;$$

— уравнение движения (уравнение импульсов)

$$\begin{split} \frac{\partial}{\partial t} \left(\rho_m \boldsymbol{v}_m \right) + \nabla \cdot \left(\rho_m \boldsymbol{v}_m \cdot \boldsymbol{v}_m \right) &= -\nabla p + \left[\mu_m (\nabla \boldsymbol{v}_m + \nabla \boldsymbol{v}_m^{\mathrm{\scriptscriptstyle T}}) \right] + \\ &+ \rho_m \boldsymbol{g} + \boldsymbol{F} + \nabla \cdot \left(\sum_{k=1}^3 \alpha_k \rho_k \boldsymbol{v}_{dr,k} \cdot \boldsymbol{v}_{dr,k} \right), \end{split}$$

где μ_m — средний коэффициент вязкости смеси:

$$\mu_m = \sum_{k=1}^3 \alpha_k \mu_k,$$

 $oldsymbol{v}_{dr,k}$ — дрейфовая скорость k-го компонента:

$$\boldsymbol{v}_{dr,k} = \boldsymbol{v}_k - \boldsymbol{v}_m,$$

p — давление; \boldsymbol{g} — ускорение свободного падения; \boldsymbol{F} — вектор объемных сил (например, поверхностного натяжения);

— уравнение энергии

$$\frac{\partial}{\partial t} \left(\sum_{k=1}^{3} \alpha_k \rho_k E_k \right) + \nabla \cdot \left(\sum_{k=1}^{3} \alpha_k \mathbf{v}_k (\rho_k E_k + p) \right) = \nabla \cdot (k_{eff} \nabla T) + S_E, \tag{1}$$

где k_{eff} — эффективный коэффициент теплопроводности k-го компонента:

$$k_{eff} = \sum_{k=1}^{3} \alpha_k (k_k + k_t),$$

 k_t — теплопроводность, обусловленная наличием турбулентности; S_E — объемная плотность мощности источников теплоты.

В (1) для удельной энергии газовой фазы принимается выражение

$$E_k = h_k - \frac{p}{\rho_k} + \frac{v_k^2}{2}$$

 $(h_k$ — удельная энтальпия), а для удельной энергии жидкой фазы — выражение

$$E_k = h_k$$
.

В данной модели учитывается джоулево тепловыделение:

$$S_E = \mathbf{j} \cdot \mathbf{E} = \sigma E^2. \tag{2}$$

Здесь j — плотность тока; E — напряженность электрического поля; σ — удельная электропроводность электролита.

Уравнение неразрывности электрического тока записывается в виде

$$\operatorname{div} \mathbf{j} = 0,$$

где $\boldsymbol{j} = \sigma \boldsymbol{E}$.

Для электростатического поля ${\pmb E}=-{\rm grad}\, \varphi,$ тогда уравнение для потенциала электрического поля принимает вид

$$\operatorname{div}\left(\sigma\operatorname{grad}\varphi\right)=0.$$

Для уравнения (2) приняты следующие граничные условия. На нижней проводящей пластине $\varphi=0$, на металлическом электроде $\varphi=U$ (U — приложенное напряжение). На боковых диэлектрических стенках принято условие Неймана $\partial \varphi/\partial n=0$, что соответствует непротеканию тока.

На боковых вертикальных стенках для уравнения энергии ставится условие конвективного теплообмена с окружающим атмосферным воздухом, давление которого равно $p_0=105~\Pi {\rm a},$ температура $T_a=300~{\rm K}.$

Конвективный теплообмен описывается уравнением Ньютона — Рихмана

$$q = \alpha (T_a - T_w),$$

где q — плотность теплового потока; α — коэффициент теплоотдачи; T_w — температура стенки.

Для определения α используются следующие критерии:

— критерий Прандтля

$$\Pr = \frac{\nu}{a} \tag{3}$$

 $(\nu$ — кинематическая вязкость воздуха; $a=k/(c_p\rho)$ — температуропроводность; c_p — теплоемкость воздуха при постоянном давлении; ρ — плотность воздуха; k — теплопроводность);

— критерий Грасгофа

$$Gr = \frac{gl^3\beta \,\Delta T}{\nu^2} \tag{4}$$

(l — высота вертикальной стенки; β — коэффициент объемного расширения воздуха; $\Delta T = T_a - T_w);$

— критерий Нуссельта, определяющий конвекцию вблизи вертикальной стенки:

$$Nu = 0.75(Gr Pr)^{0.25}.$$
 (5)

Коэффициент теплоотдачи

$$\alpha = \frac{\operatorname{Nu} k}{l} \tag{6}$$

для данной модели равен 14 $B_T/(M^2 \cdot K)$.

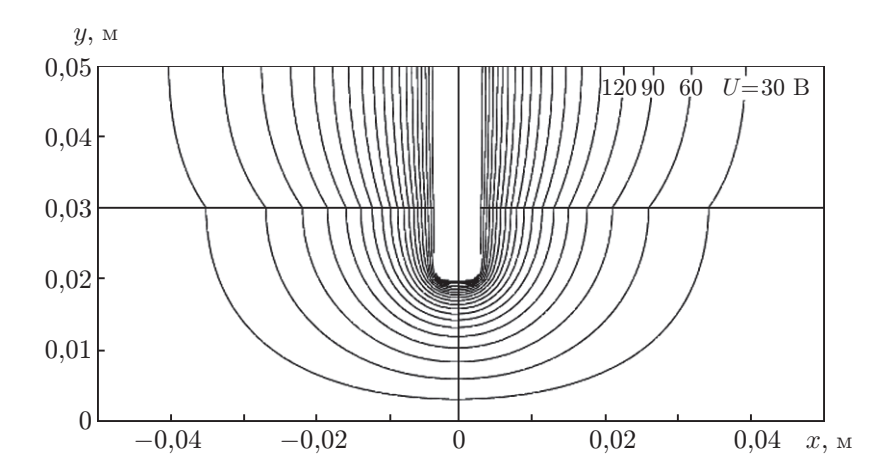


Рис. 6. Эквипотенциальные линии электрического поля в вертикальном сечении, проходящем через ось симметрии

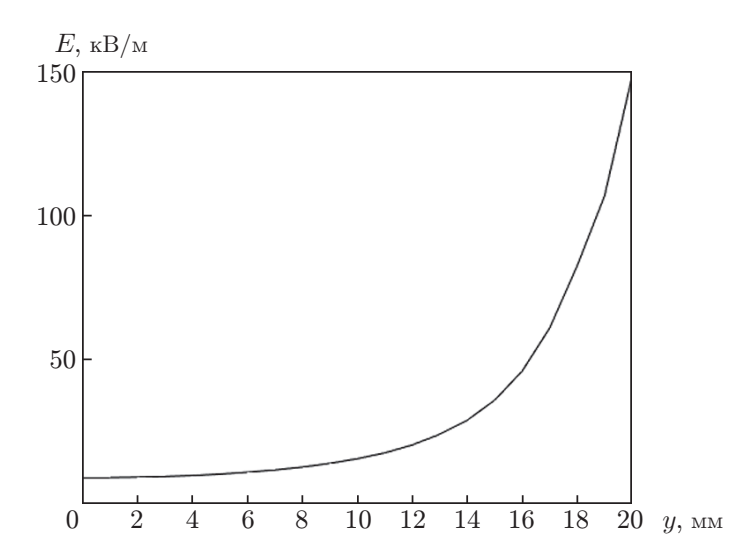


Рис. 7. Зависимость модуля напряженности электрического поля от координаты y вдоль оси симметрии разряда

На верхней границе расчетной области принято условие постоянства давления $p=p_0$, вследствие конвекции частицы среды могут свободно пересекать эту поверхность.

При расчетах электрических параметров принято значение удельной электропроводности 3 %-го раствора NaCl, равное $\sigma=0.54$ Cm/m. На рис. 6 приведены расчетные эквипотенциальные линии электрического поля при напряжении на электроде U=600 B, на рис. 7 — зависимость модуля напряженности электрического поля от вертикальной координаты y вдоль оси симметрии разряда. Вблизи электрода напряженность электрического поля достигает значения $E\approx150$ кB/m. При протекании тока происходит локальный нагрев электролита вблизи электрода, что приводит к образованию пузырьков пара.

Оценим характерное время парообразования τ за счет джоулева тепловыделения (2). В пренебрежении теплоемкостью и теплопроводностью вся выделяемая мощность расходуется на парообразование:

$$S_E \Delta V \tau = r \rho \Delta V$$
.

Здесь r — удельная теплота парообразования; ρ — плотность воды; ΔV — малый объем электролита. Отсюда следует $\tau = r \rho/(\sigma E^2) \approx 0.2$ с.

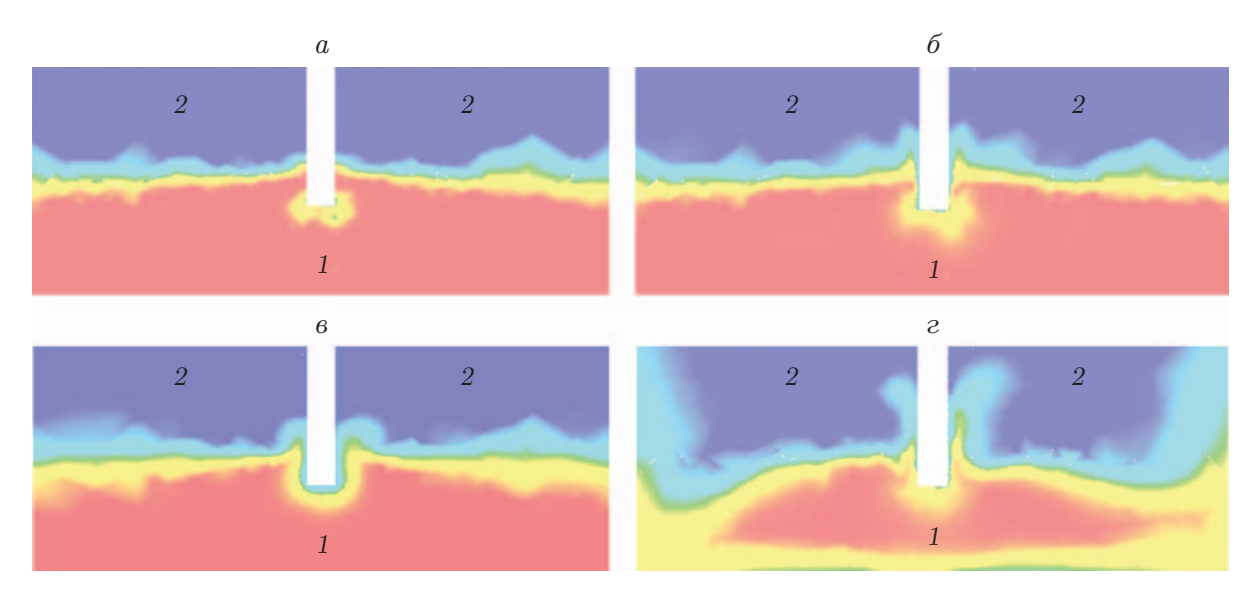


Рис. 8. Области электролита (1) и пара (2): a-t=1,6 с, $\delta-t=2,0$ с, $\epsilon-t=2,4$ с, $\epsilon-t=2,6$ с

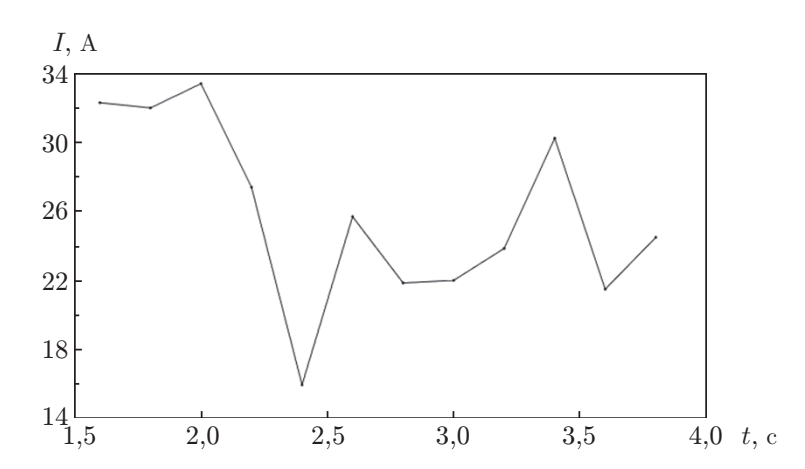


Рис. 9. Расчетная зависимость силы тока между анодом и медной пластиной (см. рис. 1) от времени

На рис. 8 приведены области электролита и пара в различные моменты времени. Сначала пузырьки образуются вблизи нижней кромки электрода, где напряженность поля и, следовательно, объемная плотность выделяемой мощности максимальны (см. рис. 8,a). В дальнейшем пар охватывает погруженную часть электрода, что приводит к уменьшению площади области контакта с электролитом (см. рис. 8,6,a). Затем вследствие конвекции вблизи электрода появляется вертикально направленный поток пара и жидкости, что приводит к увеличению площади области контакта с электролитом (см. рис. 8,c).

Вследствие изменения площади области контакта электролита с погруженным электродом возникают пульсации тока (рис. 9). В диапазоне $t=1,5\div 2,0$ с площадь области контакта металлического электрода с электролитом максимальная, что соответствует наибольшему значению силы тока. Далее в результате динамических процессов, происходящих на границе области взаимодействия электродов (см. рис. 8), площадь этой области периодически меняется, что приводит к уменьшению и увеличению силы тока в интервале времени $t=2,40\div 3,75$ с. Характерное время пульсаций тока приблизительно совпадает с рассчитанным значением $\tau\approx 0,2$ с.

Заключение. В результате проведенного исследования получены следующие результаты.

Обнаружены формирование конусообразных плазменных микроканалов и образование анодных и катодных пятен на поверхности электродов в диапазоне значений напряжения $200 \div 500$ В. При увеличении напряжения с 600 до 800 В формируется разряд в виде импульсов силы тока в диапазоне $0.2 \div 11.0$ А.

Установлено, что в спектре разряда присутствуют различные атомы и молекулы. Полученная по уширению линии H_{β} концентрация электронов равна $n_e=(9.4\pm0.4)\times10^{16}~{\rm cm}^{-3}$. Вращательная и колебательная температуры молекулы гидроксила ОН равны $T_r=3550~{\rm K},\, T_{\nu}=4900~{\rm K}$ соответственно.

Представлены результаты численного моделирования процесса протекания тока в электролитической ячейке и начальной стадии разряда.

Полученные результаты могут быть использованы для разработки математических моделей плазменно-жидкостных систем с рассматриваемой конфигурацией электродов, а также при создании плазменных устройств для обработки поверхности металлических изделий из алюминия.

ЛИТЕРАТУРА

- 1. Bruggerman P., Kushner M. J., Locke B. R., et al. Plasma-liquid interactions: a review and roadmap // Plasma Sources Sci. Technol. 2016. V. 25. 053002.
- 2. Gaisin Al. F., Son E. E., Efimov A. V., et al. Spectral diagnostics of plasma discharge between a metal cathode and liquid anode // High Temperature. 2017. V. 55. P. 457–460.
- 3. Kashapov N., Kashapov R., Kashapov L. Influence of the electrolytic cathode temperature on the self-sustaining mechanism of plasma-electrolyte discharge // J. Phys. D: Appl. Phys. 2018. V. 51. 494003.
- 4. Sakiyama Y., Graves D. B., Chang H.-W., et al. Plasma chemistry model of surface microdischarge in humid air and dynamics of reactive neutral species // J. Phys. D: Appl. Phys. 2012. V. 45. 425201.
- 5. Raizer Y. P. Gas discharge physics / Y. P. Raizer, J. E. Allen. Berlin: Springer, 1997.
- 6. Meletis E. I., Nie X., Wang F. L., Jiang J. Electrolytic plasma processing for cleaning and metal-coating of steel surfaces // Surface Coatings Technol. 2002. V. 150. P. 246–256.
- 7. **Ishijima T., Nosaka K., Tanaka Y., et al.** A high-speed photoresist removal process using multibubble microwave plasma under a mixture of multiphase plasma environment // Appl. Phys. Lett. 2013. V. 103. 142101.
- 8. **Gaisin Al. F.** Investigation of the effect of a low-temperature plasma of vapor-gas discharges with the use of electrolytic electrodes at lower pressure on products of complex shape // Inorgan. Materials: Appl. Res. 2017. V. 8. 392.
- 9. Gaysin Al. F., Gil'mutdinov A. Kh., Mirkhanov D. N. Electrolytic-plasma treatment of the surface of a part produced with the use of additive technology // Metal Sci. Heat Treatment. 2018. V. 60. P. 128–132.
- 10. Kashapov R., Kashapov L., Kashapov N. Research of plasma-electrolyte discharge in the processes of obtaining metallic powders // J. Phys.: Conf. Ser. 2017. V. 927. 012086.
- 11. Wüthrich R., Allagui A. Building micro and nanosystems with electrochemical discharges // Electrochimica Acta. 2010. V. 55. P. 8189–8196.
- 12. **Abdul K. T., Kaliani A. A.** Glow discharge plasma electrolysis for nanoparticles synthesis // Ionics. 2012. V. 18. P. 315–327.

- 13. Saito G., Hosokai S., Tsubota M., Akiyama T. Synthesis of copper/copper oxide nanoparticles by solution plasma // J. Appl. Phys. 2011. V. 110. 023302.
- 14. Paulmier T., Bell J. M., Fredericks P. M. Deposition of nano-crystalline graphite films by cathodic plasma electrolysis // Thin Solid Films. 2007. V. 515. P. 2926–2934.
- 15. Quan C., He Y. Properties of nanocrystalline Cr coatings prepared by cathode plasma electrolytic deposition from trivalent chromium electrolyte // Surface Coatings Technol. 2015. V. 269. P. 319–323.
- 16. Mezei P., Czerfalvi T., Janossy M., et al. Similarity laws for glow discharges with cathodes of metal and an electrolyte // J. Phys. D: Appl. Phys. 1998. V. 31. 2818.
- 17. Smoluch M., Mielczarek P., Silberring J. Plasma-based ambient ionization mass spectrometry in bioanalytical sciences // Mass Spectrom. Rev. 2016. V. 35. P. 22–34.
- 18. Becker K. H., Schoenbach K. H., Eden J. G. Microplasmas and applications // J. Phys. D: Appl. Phys. 2006. V. 39. R55.
- 19. Son E. E., Sadriev R. Sh., Gaisin Al. F., et al. Peculiarities of microwave discharge between a copper pin electrode and technical water // High Temperature. 2014. V. 52. 939.
- 20. Bruggeman P., Leys C. Non-thermal plasmas in and in contact with liquids // J. Phys. D: Appl. Phys. 2009. V. 42. 053001.
- 21. **Samukawa S., Hori M., Rauf Sh., et al.** The 2012 plasma roadmap // J. Phys. D: Appl. Phys. V. 45. 253001.
- 22. **Касабов Г. А.** Спектроскопические таблицы для низкотемпературной плазмы: Справ. / Г. А. Касабов, В. В. Елисеев. М.: Атомиздат, 1973.
- 23. Очкин В. Н. Спектроскопия низкотемпературной плазмы. М.: Физматлит, 2006.

Поступила в редакцию 27/X 2021 г., после доработки — 7/XII 2021 г. Принята к публикации 27/XII 2021 г.